

**МЕХАНИКА  
ЖИДКОСТИ И ГАЗА**  
**№ 1 · 1990**

УДК 533.6.011.72

© 1990 г.

АЛЬЕВ Г. А.

**ДИФРАКЦИЯ ПЛОСКОГО СКАЧКА УПЛОТНЕНИЯ НА ДИСКЕ,  
НАКЛОННО ПОГРУЖАЮЩЕМСЯ В СЖИМАЕМУЮ ЖИДКОСТЬ**

Рассматривается пространственная задача о взаимодействии несимметрично погружающегося в воду диска с движущимся ему навстречу скачком уплотнения. Вода полагается идеальной сжимаемой жидкостью, течение — адиабатическим. Изменения параметров течения и состояния определяются путем численного интегрирования уравнений, описывающих данное течение, с помощью трехмерного варианта конечно-разностной схемы [1] по методике [2]. Исследуется влияние интенсивности скачка уплотнения на коэффициент лобового сопротивления диска и форму свободной поверхности.

1. Пусть диск радиусом  $r_0$ , находящийся под углом  $\alpha$  к свободной поверхности воды плотностью  $\rho_0$ , в момент времени  $t=0$  начинает погружаться с постоянной скоростью  $V_0$  и углом атаки  $\beta$ . Плоский скачок уплотнения с давлением  $p_1$  и плотностью  $\rho_1$ , двигающийся по жидкости навстречу диску, находится при этом на расстоянии  $z_1$  от свободной поверхности и ориентирован параллельно ей.

Задача решается в цилиндрической системе координат  $z, r, \varphi$ , жестко связанный с диском. Ось  $z$  при этом совмещена с осью диска и направлена в противоположную движению сторону. Поверхность диска лежит в плоскости  $z=0$ .

Параметры течения и состояния определяются уравнениями сплошности и движения жидкости [1] совместно с экспериментально установленной адиабатой для воды [3]

$$p = (\rho^* - 1)/\kappa, \quad \kappa = 7,15 \quad (1.1)$$

где  $p$  — избыточное давление,  $\rho$  — плотность.

Границные условия таковы: на свободной поверхности  $p=0$ ; на диске  $u=0$ . Начальные условия в невозмущенном потоке воды имеют вид

$$\begin{aligned} p &= 0, \quad \rho = 1, \quad u = M_0 \cos \beta, \quad v = -M_0 \sin \beta \cos \varphi \\ w &= M_0 \sin \beta \sin \varphi, \quad M_0 = V_0/a_0 \end{aligned} \quad (1.2)$$

Значения параметров потока в области, располагающейся за скачком уплотнения вверх по течению, в момент времени  $t=0$  полагаются постоянными и задаются следующими:

$$\begin{aligned} \rho &= \rho_1, \quad p = p_1, \quad u = M_1 \cos \alpha + M_0 \cos \beta \\ v &= -(M_1 \sin \alpha + M_0 \sin \beta) \cos \varphi \\ w &= (M_1 \sin \alpha + M_0 \sin \beta) \sin \varphi \end{aligned} \quad (1.3)$$

Здесь  $u$ ,  $v$ ,  $w$  — осевая, радиальная и угловая составляющие вектора скорости,  $M_0$  — число Маха набегающего потока.

Обозначенные величины записаны в безразмерном виде. Координаты отнесены к  $r_0$ ;  $u$ ,  $v$ ,  $w$  — к скорости звука  $a_0$  в невозмущенном потоке жидкости; плотность среды — к  $\rho_0$ ; давление — к  $\rho_0 a_0^2$ .

Величины  $p_1$ ,  $M_1$  определяются из законов сохранения на плоском скачке уплотнения в воде [3] по заданной величине  $\rho_1$

$$p_1 = (\rho_1^x - 1)/x, \quad M_1 = \sqrt{1 + 8\rho_1} - 1 \quad (1.4)$$

Решение задачи находится путем интегрирования системы уравнений [1] по пространственному варианту разностной схемы сквозного счета С. К. Годунова.

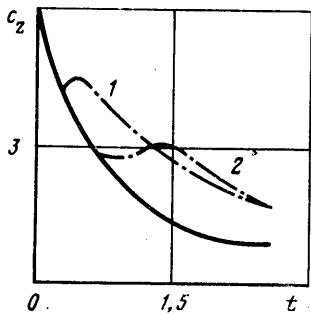
Дробление рассчитываемой области, выбор ее размеров, задание начальных параметров и положения свободной поверхности производятся аналогично [2].

Начальное положение скачка уплотнения задается уравнением  $z = (r \cos \varphi - 1) \operatorname{tg} \alpha - z_1$ . Параметры потока в расчетных ячейках, у которых значение координаты  $z$  средней линии в плоскости  $\varphi = \text{const}$  не превосходит по величине координаты скачка уплотнения, определяются по соотношениям (1.3).

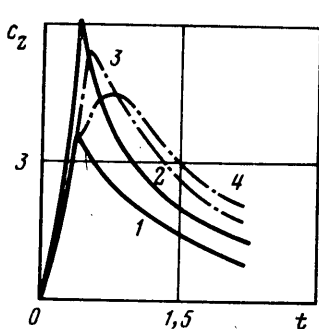
Расчет параметров течения и состояния в элементарных ячейках, определение формы свободной поверхности и каверны, распределения давления по поверхности диска и коэффициента его лобового сопротивления проводятся по методике [2].

На фиг. 1 для числа  $M_0 = 1$  представлены рассчитанные зависимости коэффициента лобового сопротивления  $c_z$  при вертикальном погружении диска в жидкость. Сплошной линией нанесены результаты расчета течения без скачка уплотнения, штриховая отвечает взаимодействию со скачком уплотнения интенсивностью  $\rho_1 = 1,2$ , расположавшимся при  $t = 0$  на расстоянии  $z_1 = 1; 1.5$  (кривые 1, 2 соответственно).

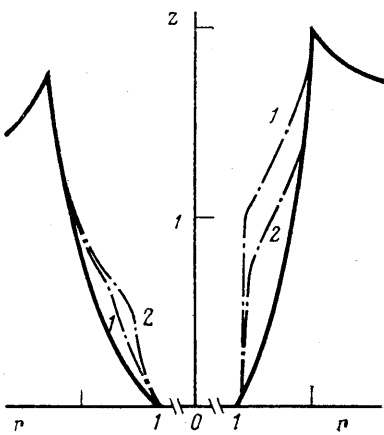
В этом случае наблюдается следующая картина течения. Ударная волна, возбуждаемая в воде диском, движется по жидкости с числом Маха  $M_2 = 1 + 2M_0$  [3, 4]. Сила сопротивления движению диска при этом уменьшается. После взаимодействия ударной волны со скачком уплотнения образуется отраженная волна сжатия, которая распространяется вниз по потоку и достигает поверхности диска. С этого момента времени начинается возрастание коэффициента  $c_z$ . Затем,



Фиг. 1



Фиг. 2



Фиг. 3

однако, в результате разрежения давления на диске, идущем от свободной поверхности воды, лобовое сопротивление уменьшается. Наиболее интенсивно этот процесс протекает при меньших значениях величины  $z_1$ .

При наклонном входе диска ( $\alpha = 10^\circ$ ,  $\beta = 0$ ,  $M_0 = 1$ ) взаимодействие со скачком уплотнения ( $\rho = 1,2$ ) приводит к увеличению максимального значения  $c_z$  по сравнению с погружением в невозмущенную жидкость (кривая 1, фиг. 2). Это можно объяснить наложением влияния скачка уплотнения на процесс возрастания лобового сопротивления при пересечении диском свободной поверхности жидкости. Цифрами 2—4 на фиг. 2 обозначены зависимости  $c_z$ , полученные при  $z_1 = 0; 1; 1.5$  соответственно.

На фиг. 3 для значений  $z_1=1$  и  $1,5$  (штриховая, цифры 1 и 2) нанесены формы каверны в плоскостях  $\varphi=0$  и  $\pi$  при  $M_\infty=1$ ,  $\alpha=10^\circ$ . Сплошной линией обозначена каверна, рассчитанная для течения без скачка уплотнения.  
Относительное сужение каверны начинается ранее при меньших значениях  $z_1$ .

#### ЛИТЕРАТУРА

1. Численное решение многомерных задач газовой динамики/Под ред. Годунова С. К. М.: Наука, 1976. 400 с.
2. Альев Г. А. Пространственная задача о погружении диска в сжимаемую жидкость // Изв. АН СССР. МЖГ. 1988. № 1. С. 17–20.
3. Замышляев Б. В., Яковлев Ю. С. Динамические нагрузки при подводном взрыве. Л.: Судостроение, 1967. 387 с.
4. Ерошин В. А., Романенков Н. И., Серебряков И. В., Якимов Ю. Л. Гидродинамические силы при ударе тупых тел о поверхность сжимаемой жидкости // Изв. АН СССР. МЖГ. 1980. № 6. С. 44–51.

Ленинград

Поступила в редакцию  
25.XI.1988